

P4 理論セ(5/17)

(3) (Eエネルギー-散乱(縮進) (P.48~))

津村

① 微分断面積の公式を作る。

入射 e^- の中心子もターゲットの陽子もでた e^- の向きを構えているとすると、トリプレットとシンクレットの状態が3:1で混ざりあっているはず

→ 実験される散乱断面積は

$$\sigma = \frac{3}{4} \sigma^{(1)} + \frac{1}{4} \sigma^{(0)} \quad (30)$$

と表せる。

$$(21) \frac{d\sigma^{(1)}}{d\Omega} = |f^{(1)}(\theta)|^2 = \frac{\sin^2 \delta_0^{(1)}}{k^2}$$

$$(26) k \cot \delta_0^{(1)} = -\frac{1}{a_1} + \frac{1}{2} r_1 k^2 + \dots$$

より、 $1 + \cot^2 \theta = \frac{1}{\sin^2 \theta}$ を用いると、

$$\sigma^{(1)} \approx \frac{4\pi}{k^2 + \left(-\frac{1}{a_1} + \frac{1}{2} r_1 k^2\right)^2} \quad (29)$$

シンクレットについても同様に

$$k \cot \delta_0^{(0)} = -\frac{1}{a_0} + \frac{1}{2} r_0 k^2 + \dots \quad (32) \quad \left(\begin{array}{l} \text{シンクレット} \\ \leftrightarrow (26) \end{array} \right)$$

$$\frac{1}{f_{dot}} = k_0 - k_0^2 \left(a_0 - \frac{b_0}{2} \right) \quad (33) \quad \left(\leftrightarrow (29) \& (28) \right)$$

$$\left(\frac{1}{k_0} = \frac{b}{\sqrt{M|E_0|}} \right) \quad (34)$$

E_0 : 重水素核の S 状態の固有エネルギー

とすれば、(21)と(32)より、

$$\sigma^{(0)} \approx \frac{4\pi}{k^2 + \left(-\frac{1}{a_0} + \frac{1}{2} r_0 k^2\right)^2} \quad (31)$$

Q 定数 d_1, d_0, r_0, r_1 を実験データから決定する。

精密に決めるためには (30) 式では不十分

熱中性子 ($E \sim 0.025 \text{ eV}$) の散乱断面積 ⁽³⁰⁾ の値 $k \rightarrow 0$

$$\sigma = \pi(3d_1^2 + d_0^2) = 20.4 \times 10^{-24} \text{ cm}^2$$

12ラ、水素分子に与る熱中性子の散乱断面積

2つの陽子が逆向きのスピンをもつ。

$$\sigma_{\text{H2O}} = \pi(3d_1 + d_0)^2 \quad (39) \rightarrow \text{付録7参照}$$

2つの陽子の干渉の効果

$$(3d_1 + d_0)^2 = 0.624 \times 10^{-24} \text{ cm}^2 \quad (39)'$$

(38) と (39)' から

$$d_1 = 0.528 \times 10^{-12} \text{ cm}, \quad d_0 = -2.38 \times 10^{-12} \text{ cm} \quad (40)$$

0 重水素核の $1S$ 状態は不安定

$$(27) \frac{1}{d_1} = k = \frac{1}{2} k^2 r_1 \text{ から}$$

$$\text{有効作用半径 } r_1 = 1.56 \times 10^{-13} \text{ cm} \quad (41)$$

r_0 は陽子-陽子散乱の断面積から決まる

Pauli原理から $3S$ 状態は存在しない。

→ 低エネルギーでは $1P$ - $1D$ と $1S$ 状態の核力による散乱

- ・ $1P$ - $1D$ と核力の散乱の干渉
- ・ 陽子のエネルギーコントロールしやすい

実験的に d_0 と r_0 を決定できる ($r_0 = 2.7 \times 10^{-13} \text{ cm}$) 核力の
↑
中性子-陽子散乱から決めた d_0 と一致 \Rightarrow 荷電独立性

* 低エネルギーでは $1P$ の寄与を無視してか、低エネルギーでは妥当。

付録 7

$$\sigma_{\text{H}_2\text{分子}} = \pi(3d_1 + d_0)^2 \quad (1)$$

を示す

入射中性子の、逆向きのスピンをもつ 2 陽子 による散乱の干渉が問題。

滑目の陽子が原点の近く k_i にあるとき、陽子 i による散乱だけを考えるとき
中性子の波動関数は

$$e^{ikz} + f_i \frac{e^{i(k-k_i)r}}{|k-k_i|} \approx e^{ikz} + f_i \frac{e^{ikr}}{r} \quad (k r_i \ll 1)$$

水素分子 による散乱は

$$e^{ikz} + (f_1 + f_2) \frac{e^{ikr}}{r} \quad (3)$$

§ 2.6-(20) 式より、

$$f^{(1)}(\theta) = \frac{1}{2ik} \{ e^{2i\delta_0^{(1)}} - 1 \} = \frac{e^{i\delta_0^{(1)}}}{2ik} (e^{i\delta_0^{(1)}} - e^{-i\delta_0^{(1)}}) = \frac{e^{i\delta_0^{(1)}}}{k} \sin \delta_0^{(1)} \quad (4)$$

スピンアップ・スピンアップの 2 つをまとめ、

$$f_i = \frac{3 + (\sigma_n \cdot \sigma_i)}{4} f^{(1)} + \frac{1 - (\sigma_n \cdot \sigma_i)}{4} f^{(0)} \quad (5)$$

$$\left(\begin{array}{l} \text{↑↑ のとき } (\sigma_n \cdot \sigma_i) = 1 \text{ より } f_i = f^{(1)} \\ \text{↑↓ のとき } (\sigma_n \cdot \sigma_i) = -1 \text{ より } f_i = f^{(0)} \end{array} \right) \quad \text{2つを}$$

(5) をスピンに依存する部分・しない部分に分けると、

$$f_i = \frac{3f^{(1)} + f^{(0)}}{4} + \frac{f^{(1)} - f^{(0)}}{4} (\sigma_n \cdot \sigma_i) \quad (6)$$

$$\therefore f_1 + f_2 = \frac{3f^{(1)} + f^{(0)}}{2} + \frac{f^{(1)} - f^{(0)}}{4} \sigma_n \cdot (\sigma_1 + \sigma_2) \quad (7)$$

(↑↑ 水素のとき、スピン反対称性
其の値は 0)

$$\Rightarrow \sigma_{\text{H}_2\text{分子}} = 4\pi \left| \frac{3f^{(1)} - f^{(0)}}{2} \right|^2 = \pi |3f^{(1)} + f^{(0)}|^2 \quad (8)$$

これを(4)に代入

$$\begin{aligned} \pi |3f^{(1)} + f^{(0)}|^2 &= \pi \left[9|f^{(1)}|^2 + |f^{(0)}|^2 + 6 \operatorname{Re}[f^{(1)*} f^{(0)}] \right] \\ &= \pi \left\{ 9 \frac{\sin^2 \delta_0^{(1)}}{k^2} + \frac{\sin^2 \delta_0^{(0)}}{k^2} + 6 \frac{\sin \delta_0^{(1)} \sin \delta_0^{(0)}}{k^2} \cos(\delta_0^{(1)} - \delta_0^{(0)}) \right\} \quad (9) \end{aligned}$$

$$(2b) \quad k \cot \delta_0^{(i)} = -\frac{1}{d_i} + \frac{1}{2} r_i k^2 + \dots$$

ここで $k \rightarrow 0$ のとき $\sin \delta_0^{(i)} \approx kd_i$, $\cos \delta_0^{(i)} \approx 1$ より、

これを(9)に適用すると、

$$\sigma_{\text{tot}}^{\text{弾性}} = \pi (9d_1^2 + d_0^2 + \underbrace{6d_1 d_0}_{\text{干渉項}}) = \pi |3d_1 + d_0|^2 \quad \square$$

(4) 高エネルギー-散乱と交換力

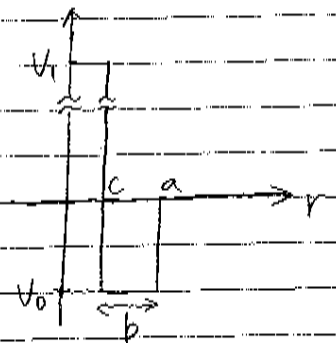
低エネルギー-散乱 $\rightarrow l=0$ だけ ($S_0^{(l)}(k)$) の情報だけ
 高エネルギー $\rightarrow S_1^{(l)}(k), S_2^{(l)}(k), \dots$ まで "情報が増える"

核子-核子散乱を高エネルギーで実験すれば
 核力ポテンシャルの形について詳細が分かる。

・核力の交換力部分と非交換力部分の混り具合(はどの程度か?)

高エネルギーの中性子-陽子散乱をBorn近似で扱う

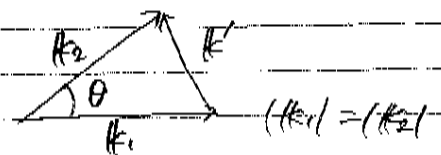
- ① Born近似は高エネルギーのときお近似となる。
- ・ Born近似は擾動論に基づいているから、
 斥力coreを十分高いか"有限の高さをもつ斥力ポテンシャルで近似しておく必要がある。



② 中性子-陽子散乱について
 Born近似での散乱振幅は、

$$f(\theta) = -\frac{M}{4\pi k^2} \int \exp(-ik_2 \cdot r) V^{(0)}(r) \exp(ik_1 \cdot r) d^3r \quad (43)$$

$\exp(ik_1 \cdot r)$: 衝突前の平面波
 $\exp(ik_2 \cdot r)$: 衝突後 "
 r は陽子から測った中性子の位置ベクトル



$V(r)$ が中心力ポテンシャルと仮定、 k' と k のなす角を θ' とすると、

$$\begin{aligned} & \int \exp(-ik_2 \cdot r) V^{(0)}(r) \exp(ik_1 \cdot r) d^3r \\ &= \int \exp(-ik' \cdot r) V^{(0)}(r) d^3r \\ &= \int_0^\infty V^{(0)}(r) r^2 dr \int \exp(-ik' r \cos \theta') d(\cos \theta') d\varphi \\ &= \int_0^\infty V^{(0)}(r) r^2 dr \cdot 2\pi \cdot \frac{1}{ik'} (e^{ik'r} - e^{-ik'r}) \\ &= \frac{4\pi}{k'} \int_0^\infty V(r) r \sin kr dr \end{aligned}$$

$$\therefore f(\theta) = -\frac{M}{k^2 k'} \int_0^\infty V(r) r \sin kr dr \quad (44)$$

$$k' = |k_2 - k_1| = 2k \sin \frac{\theta}{2} \quad (45)$$

(5) 斥力 core の問題

位相のずれを Born 近似で求めると

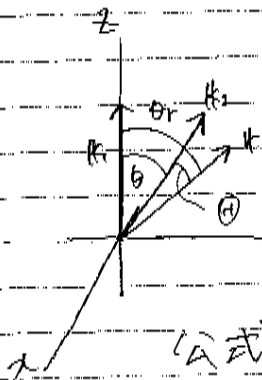
$$\delta_l(k) = -\frac{Mk}{\hbar^2} \int_0^\infty V(r) j_l^2(kr) r^2 dr \quad (50)$$

① [付録 8]

§2.6 (15) 式より、

$$e^{i\mathbf{k}_2 \cdot \mathbf{r}} = \sqrt{4\pi} \sum_l \sqrt{2l+1} i^l j_l(kr) Y_{l0}(\theta_r) \quad (3)'$$

$$e^{-i\mathbf{k}_1 \cdot \mathbf{r}} = \sqrt{4\pi} \sum_{l'} \sqrt{2l'+1} (-i)^{l'} j_{l'}(kr) Y_{l'0}(\theta) \quad (4)'$$



$$\mathbf{k}_2 = (k_2 = k_1, \theta, \varphi)$$

$$\mathbf{k} = (r, \theta_r, \theta_\varphi)$$

②: \mathbf{k}_2 と \mathbf{k} のなす角

④式

$$Y_{l0}(\theta) = \left(\frac{4\pi}{2l+1}\right)^{1/2} \sum_{m'} Y_{l'm'}^*(\theta_r, \varphi_r) Y_{l'm'}(\theta, \varphi) \quad \text{を用いると、}$$

(4)'は、

$$e^{-i\mathbf{k}_2 \cdot \mathbf{r}} = 4\pi \sum_{l'm'} (-i)^{l'} j_{l'}(kr) Y_{l'm'}(\theta_r, \varphi_r) Y_{l'm'}(\theta, \varphi) \quad (5)'$$

Born 近似での 散乱振幅の式 (§2.6-(43))

$$f(\theta) = -\frac{M}{4\pi\hbar^2} \int_0^\infty e^{-i\mathbf{k}_2 \cdot \mathbf{r}} V(r) e^{i\mathbf{k}_1 \cdot \mathbf{r}} d\mathbf{r} \quad (2)'$$

(= (3)', (5)') を代入、 θ_r, φ_r について積分すると

$$f(\theta) = -\frac{\sqrt{4\pi}M}{\hbar^2} \int_0^\infty \sum_l \sum_{l'm'} \sqrt{2l+1} i^{l-l'} j_l(kr) j_{l'}(kr) \underbrace{Y_{l0}(\theta_r) Y_{l'm'}(\theta_r, \varphi_r) Y_{l'm'}(\theta, \varphi)}_{\times V(r) r^2 dr d(\cos\theta_r) d\varphi_r}$$

$$= -\frac{M}{\hbar^2} \sum_l \sqrt{4\pi(2l+1)} \int_0^\infty j_l^2(kr) V(r) r^2 dr Y_{l0}(\theta) \quad (6)'$$

部分波の方法による $f(\theta)$ の式 (2.6-(17)) から

$$\begin{aligned} f^{(1)}(\theta) &= \frac{1}{2ik} \sum_l \sqrt{4\pi(2l+1)} \{ e^{2i\delta_l^{(1)}} - 1 \} Y_{l0}(\theta) \quad \text{Born近似} \\ &\approx \frac{1}{2ik} \sum_l \sqrt{4\pi(2l+1)} (2i\delta_l^{(1)}) Y_{l0}(\theta) \quad (|\delta_l| \ll 1 \text{ と } l \gg 1) \\ &= \frac{1}{k} \sum_l \sqrt{4\pi(2l+1)} \delta_l Y_{l0}(\theta) \quad (17)' \end{aligned}$$

(6)' と (7)' の比較から、 $|\delta_l| \ll 1$ のとき

$$\delta_l = -\frac{Mk}{\hbar^2} \int_0^\infty V(r) j_l(kr) r^2 dr \quad (50) \quad \text{(1' 録 8 頁 4)}$$

(50) 式から、

$$\begin{aligned} V(r) < 0 &\Rightarrow \delta_l > 0 \\ V(r) > 0 &\Rightarrow \delta_l < 0 \end{aligned}$$

$V(r)$ に正の部分と負の部分が混ざっているときはどうなるか、

2-17図のポテンシャル $V(r)$ について、 S_0 を計算してみよう

$$j_0(kr) = \frac{\sin(kr)}{kr} \quad \text{より}$$

$$\begin{aligned} S_0(k) &= -\frac{M}{\hbar^2 k} \int_0^\infty V(r) \sin^2 kr dr \\ &= -\frac{M}{\hbar^2 k} \left\{ V_1 \int_0^c \sin^2 kr dr - V_0 \int_c^a \sin^2 kr dr \right\} \\ &= -\frac{M}{2\hbar^2 k} \left\{ (cV_1 - bV_0) - c(V_1 + V_0) \frac{\sin 2ka}{2ka} + aV_0 \frac{\sin 2ka}{2ka} \right\} \quad (51) \end{aligned}$$

左方 core の高さ V_1 (または高さ $cV_1 > bV_0$ とする、 $a \gg c$) を仮定。

• $2ka \ll 1$, $2ka \gg 1$ となる k の領域では、

$$S_0(k) \approx \frac{MaV_0}{2\hbar^2 k} > 0$$

• $2kc \gg 1, 2ka \gg 1$ と仮定すると、

$$S_0(k) \approx -\frac{M}{2k^2c} (cV_1 - bV_0) < 0$$

よって $2kc \approx 1$ として

$$\begin{cases} k \lesssim k & \text{のとき } S_0 \gtrsim 0 \\ k \approx k & S_0 \approx 0 \\ k \gtrsim k & S_0 \lesssim 0 \end{cases}$$

2-20 図の高エネルギー π^+ -中子-陽子散乱の S_0 散乱では、

$$E = \frac{\hbar^2 k^2}{M} \approx 25 \text{ MeV} \text{ として } S_0(k) \approx 0.$$

$$\rightarrow \frac{\hbar^2 k^2}{M} = 25 \text{ MeV}, \quad 2kc \approx 1 \text{ だと}$$

斥力 core の半径 $c \approx 0.3 \text{ fm}$ と見積られる

(精密な計算によれば $c \approx 0.4$ と 0.5 fm)